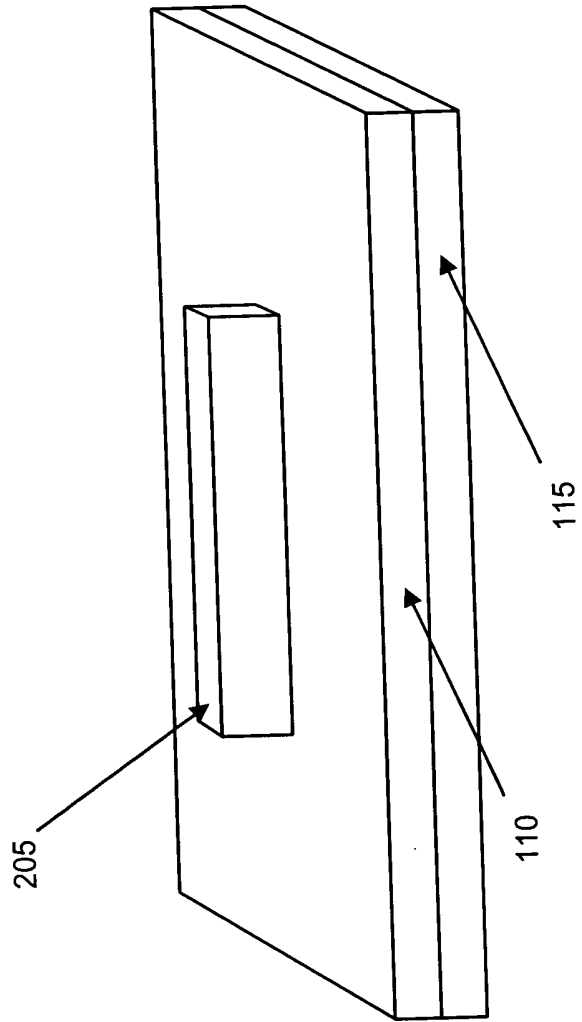


**FIG. 1**



**FIG. 2A**

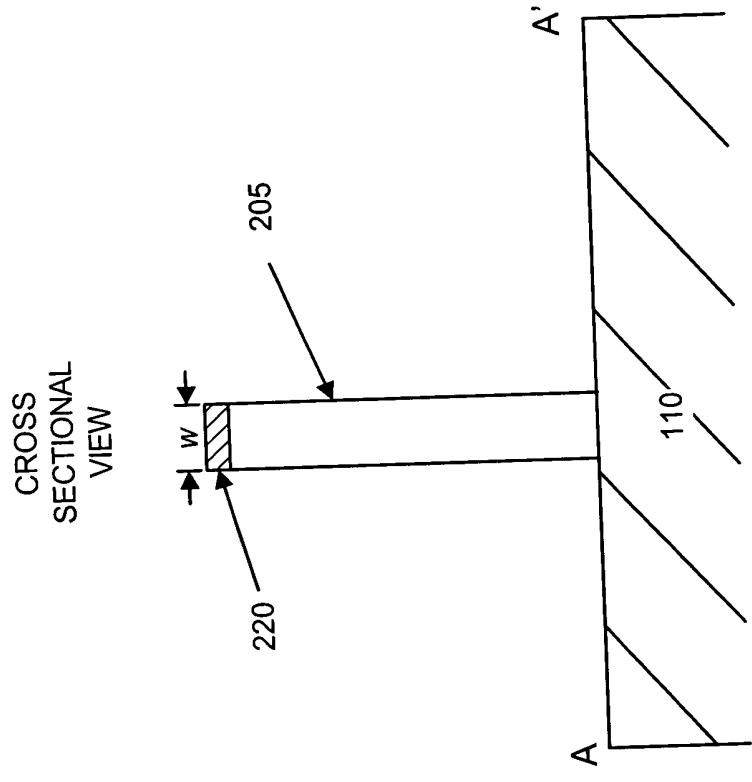


FIG. 2D

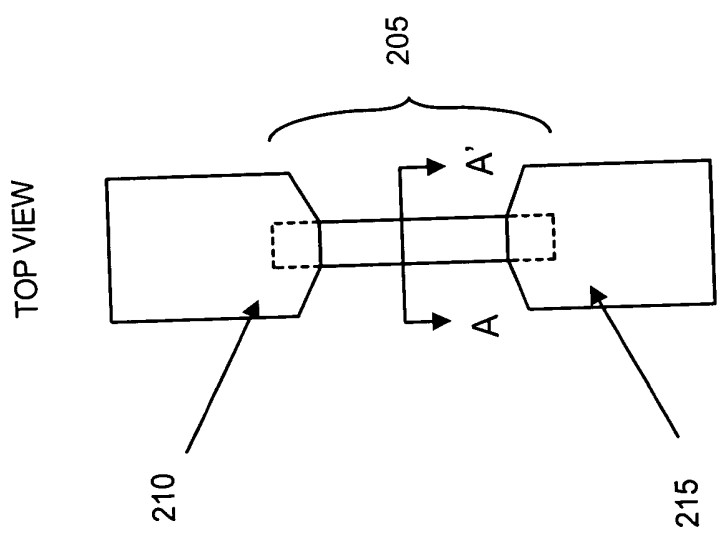
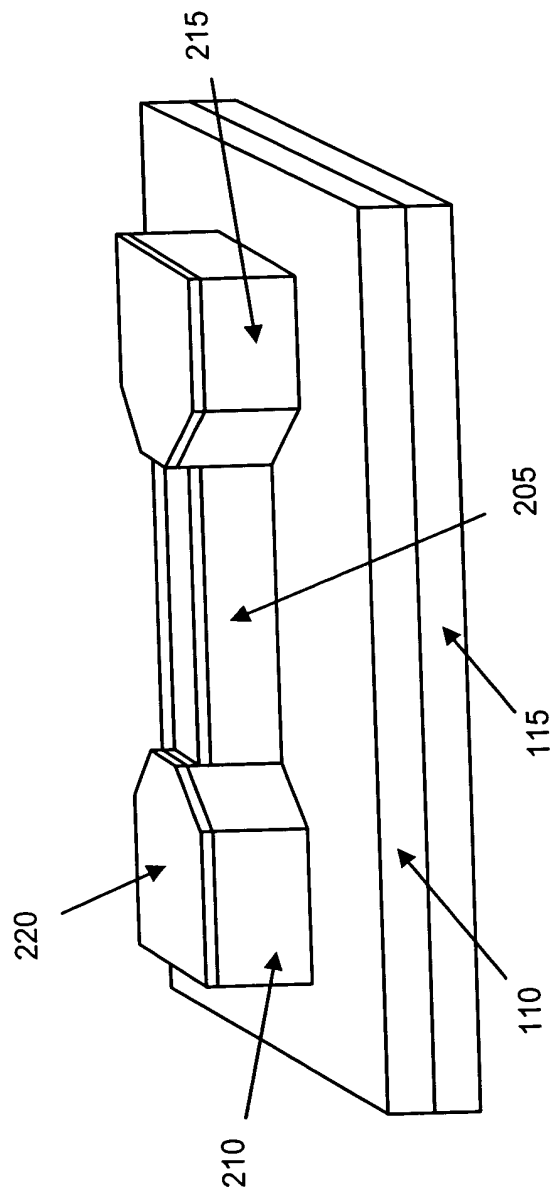


FIG. 2B



**FIG. 2C**

CROSS  
SECTIONAL  
VIEW

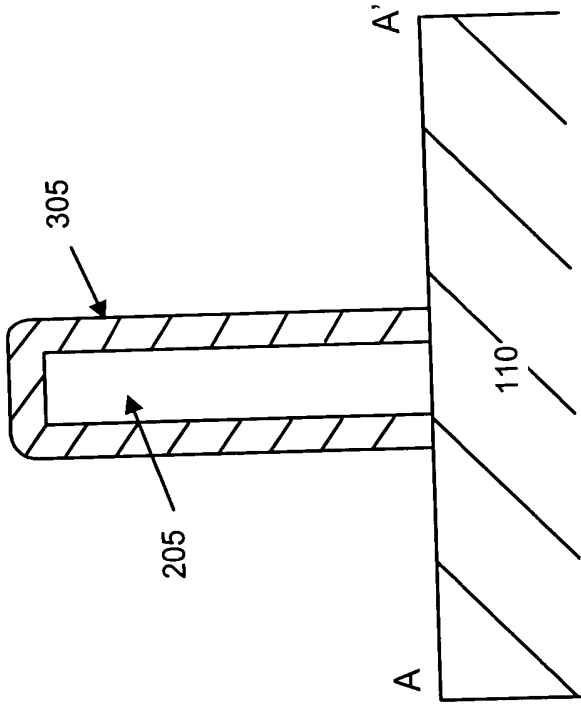


FIG. 3A

CROSS  
SECTIONAL  
VIEW

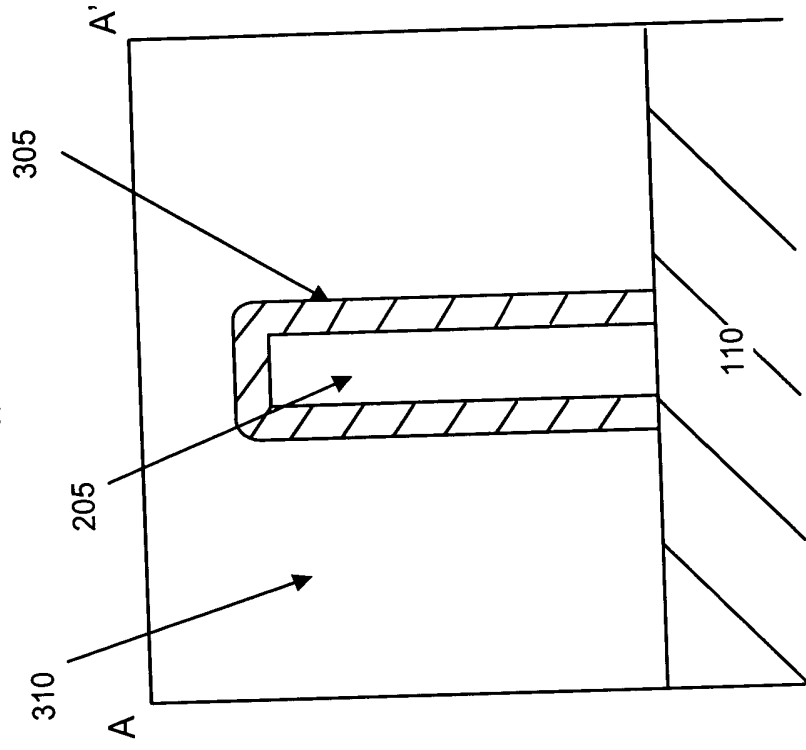
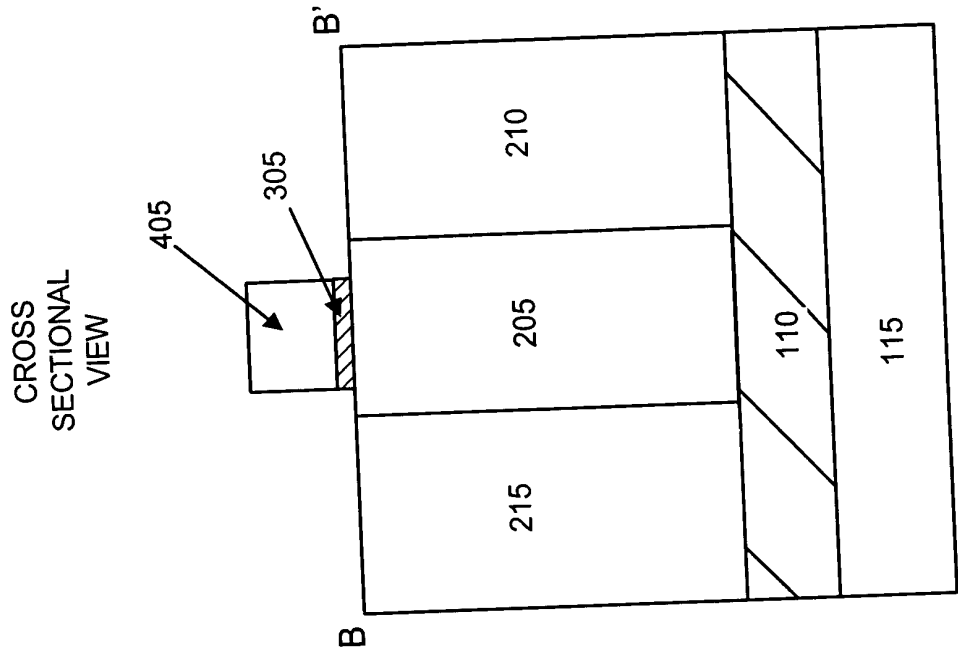
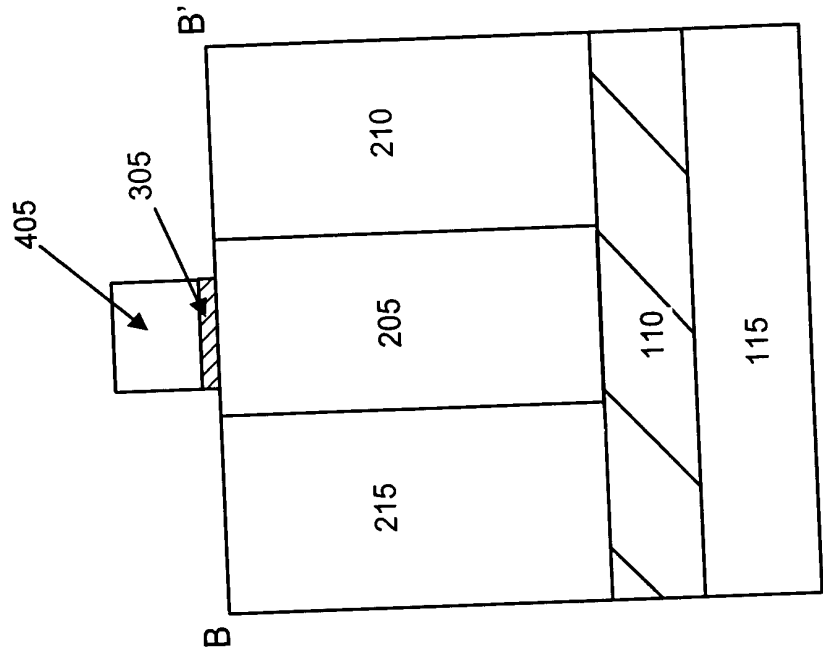


FIG. 3B

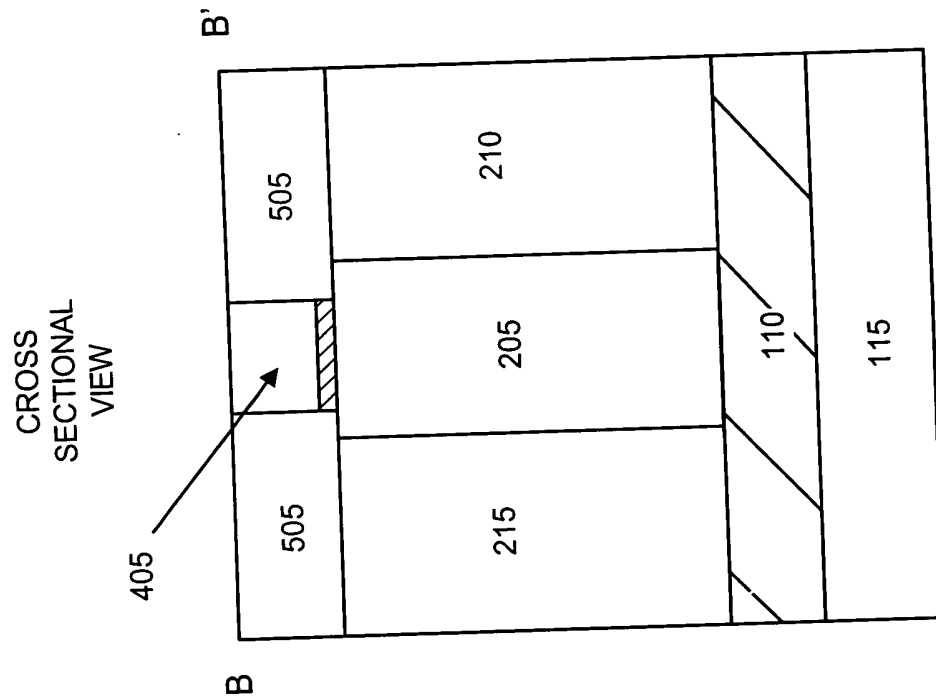


**FIG. 4A**

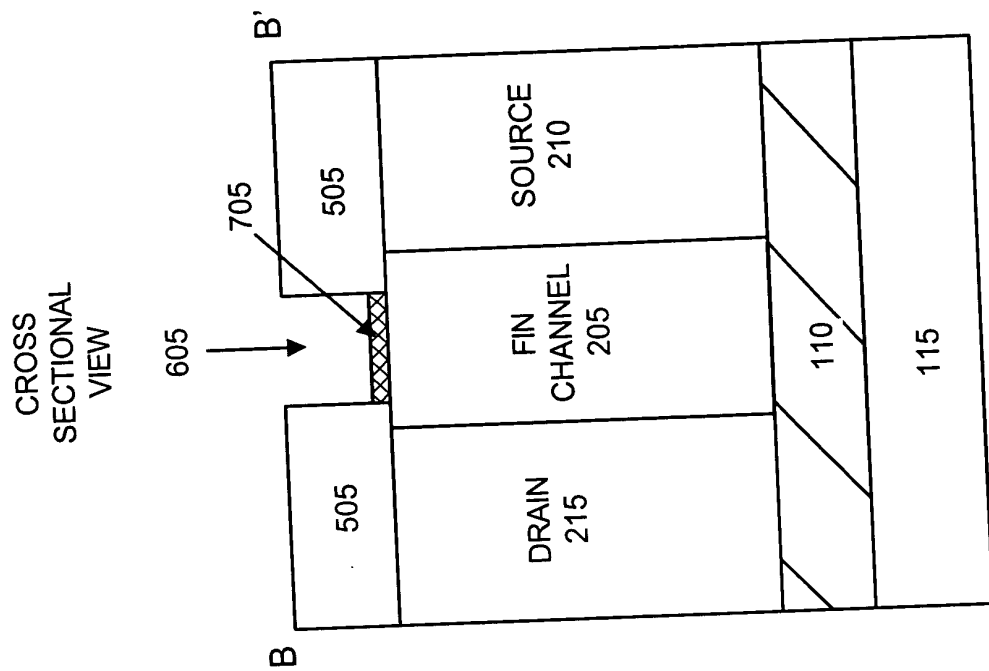
CROSS  
SECTIONAL  
VIEW



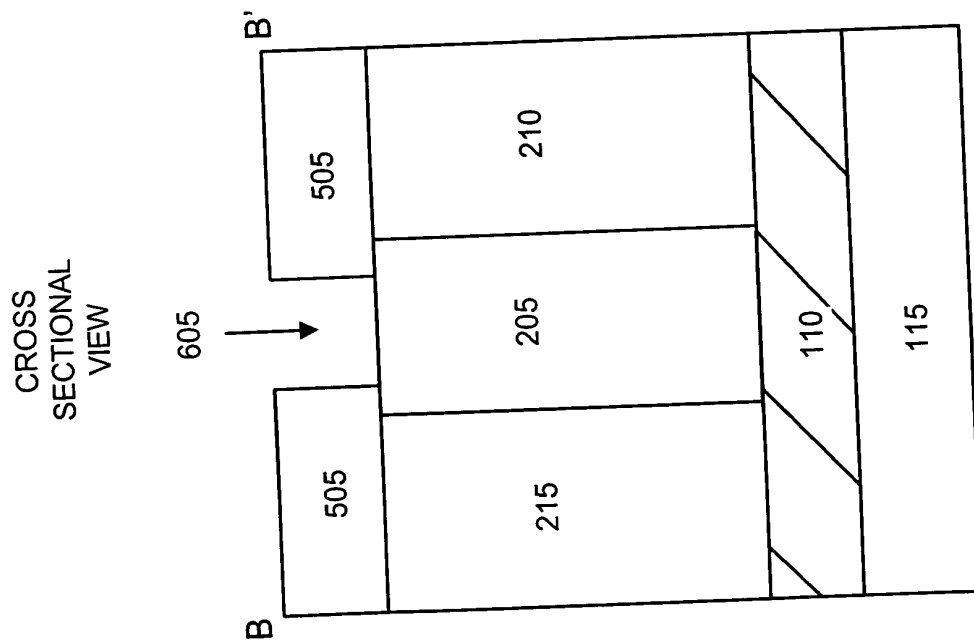
**FIG. 4B**



**FIG. 5**



**FIG. 7**



**FIG. 6**



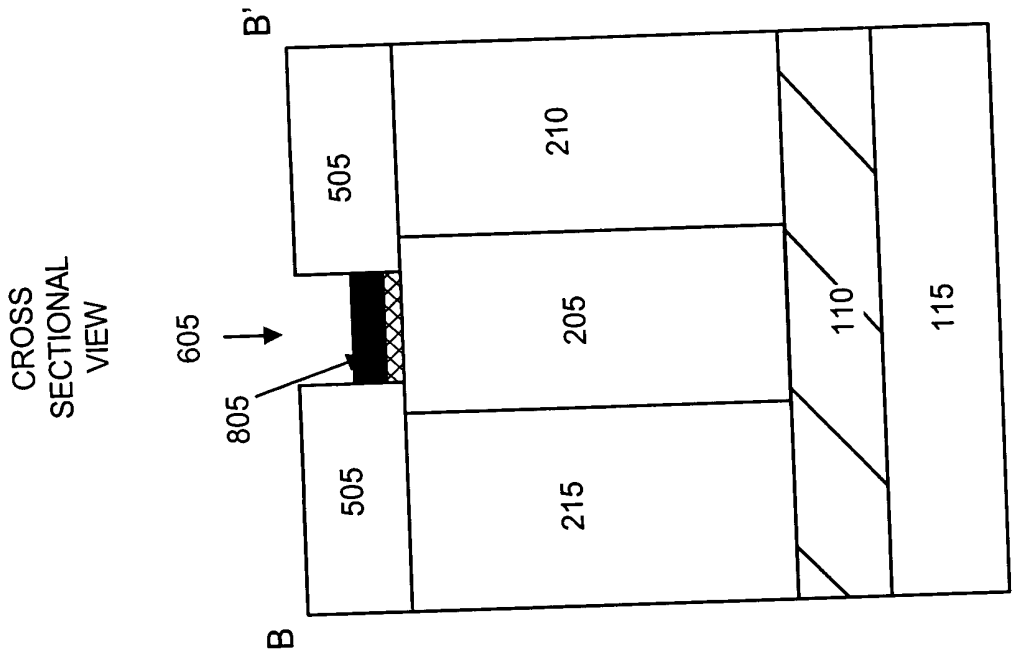


FIG. 8B

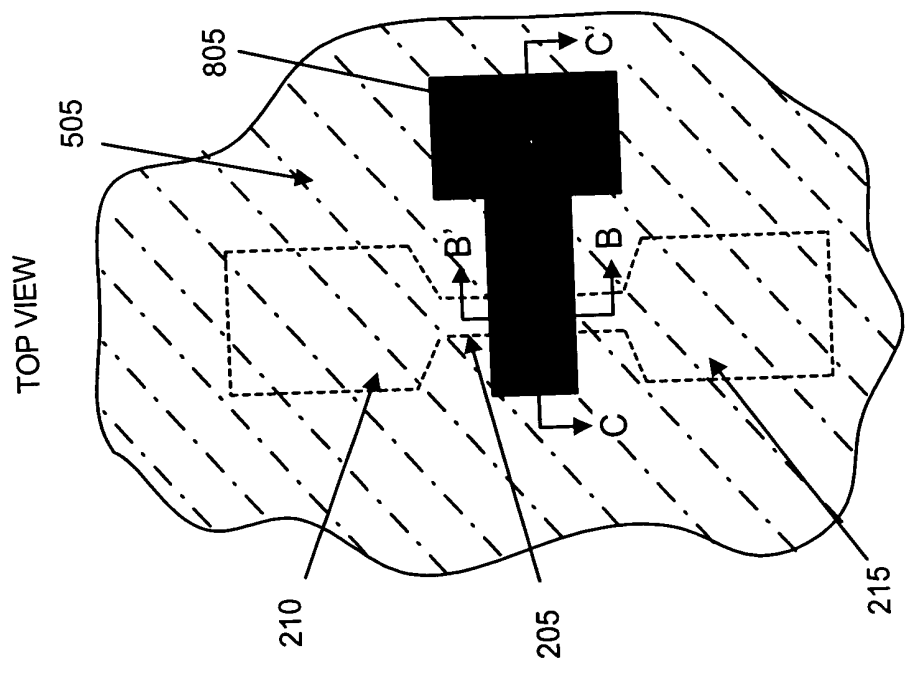


FIG. 8A

CROSS  
SECTIONAL  
VIEW

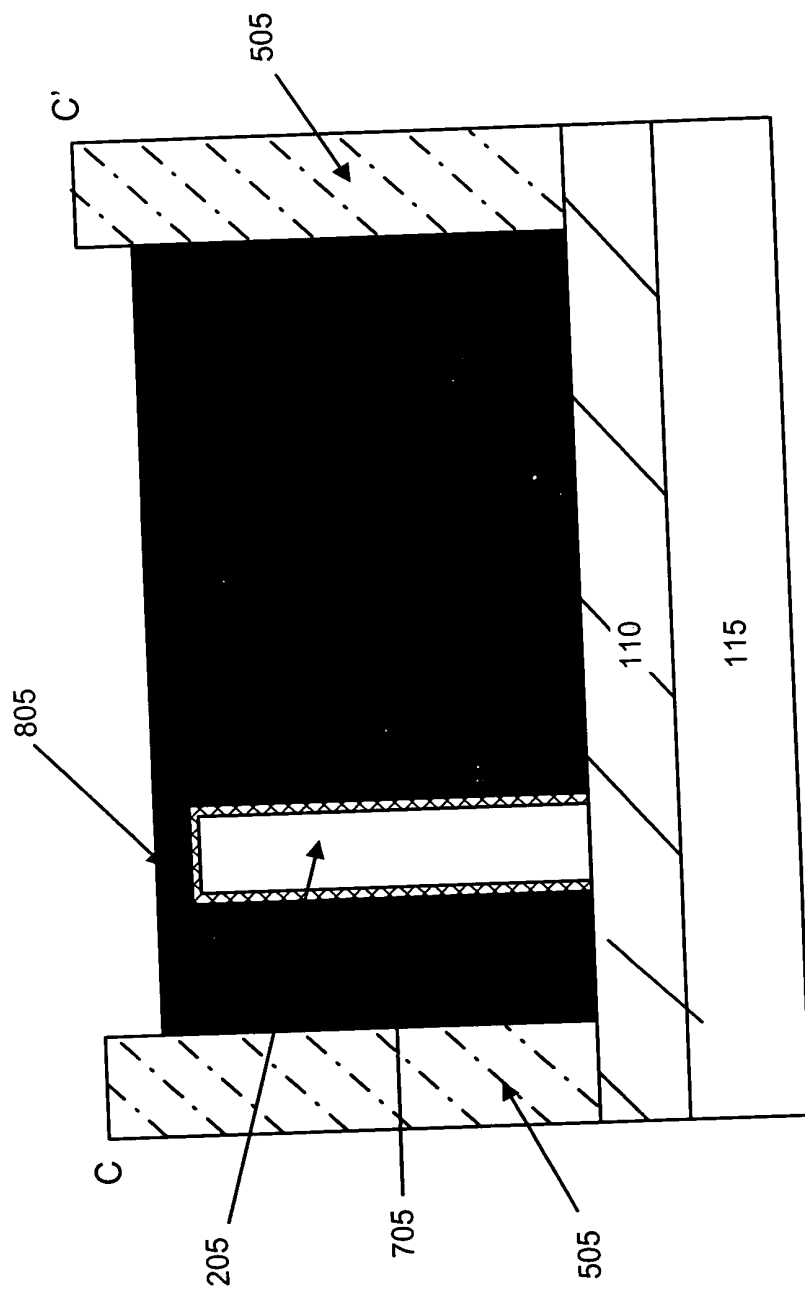


FIG. 8C

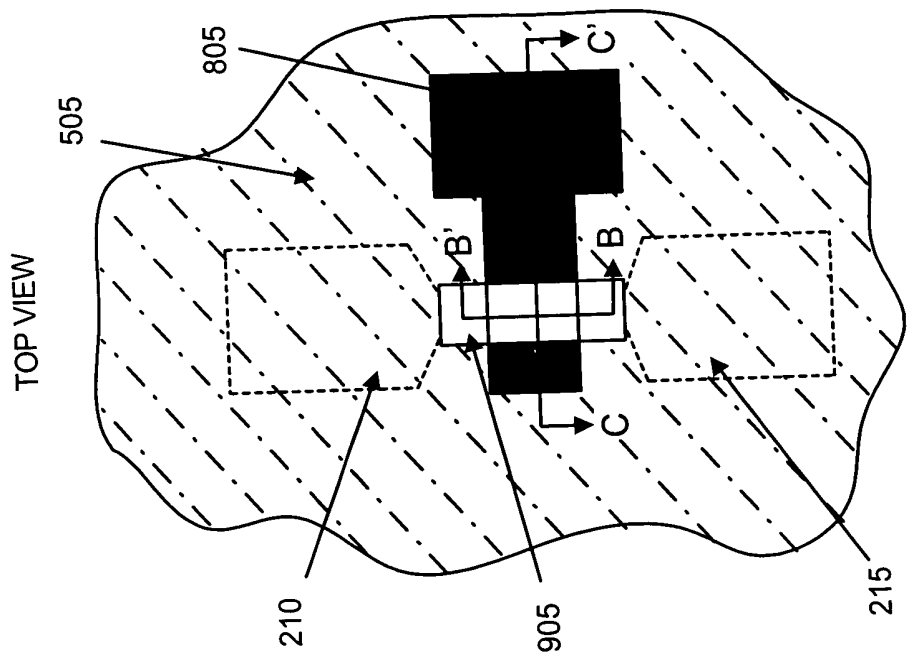


FIG. 9A

CROSS  
SECTIONAL  
VIEW

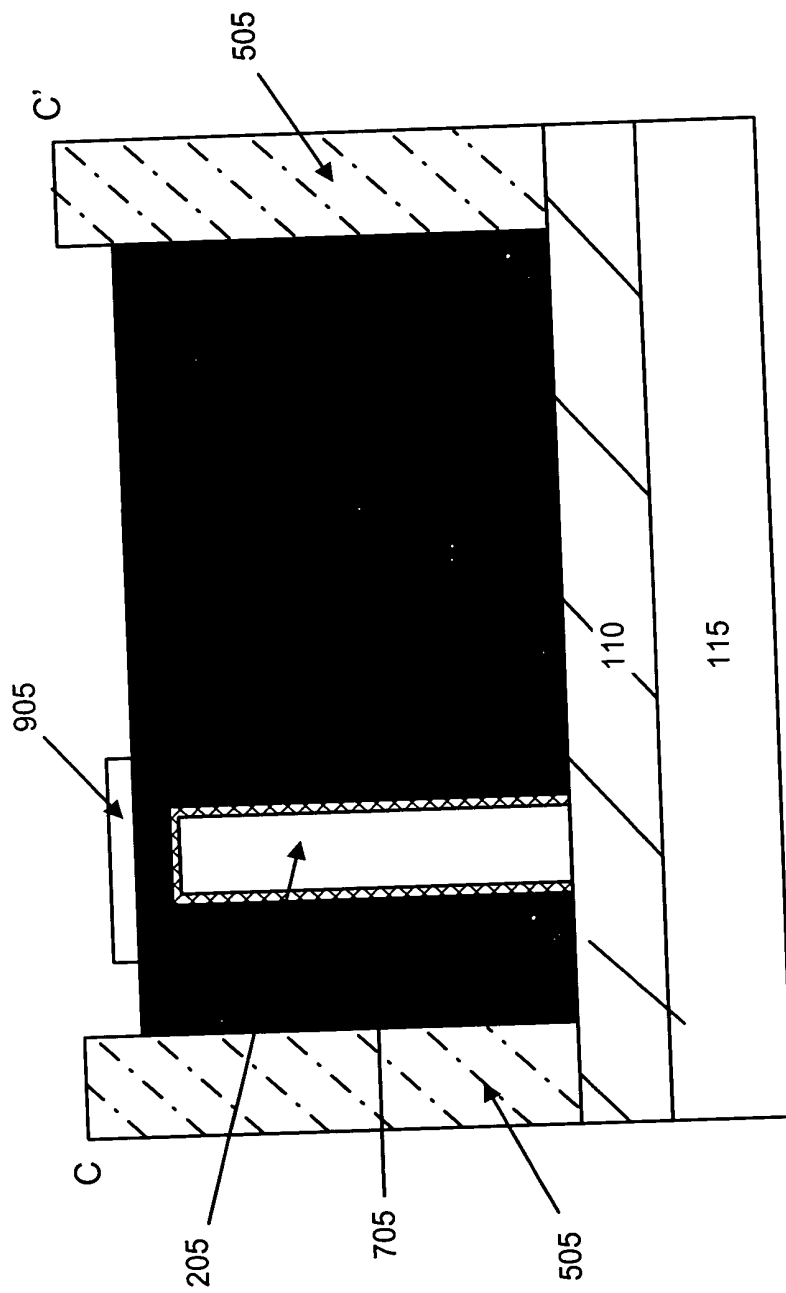
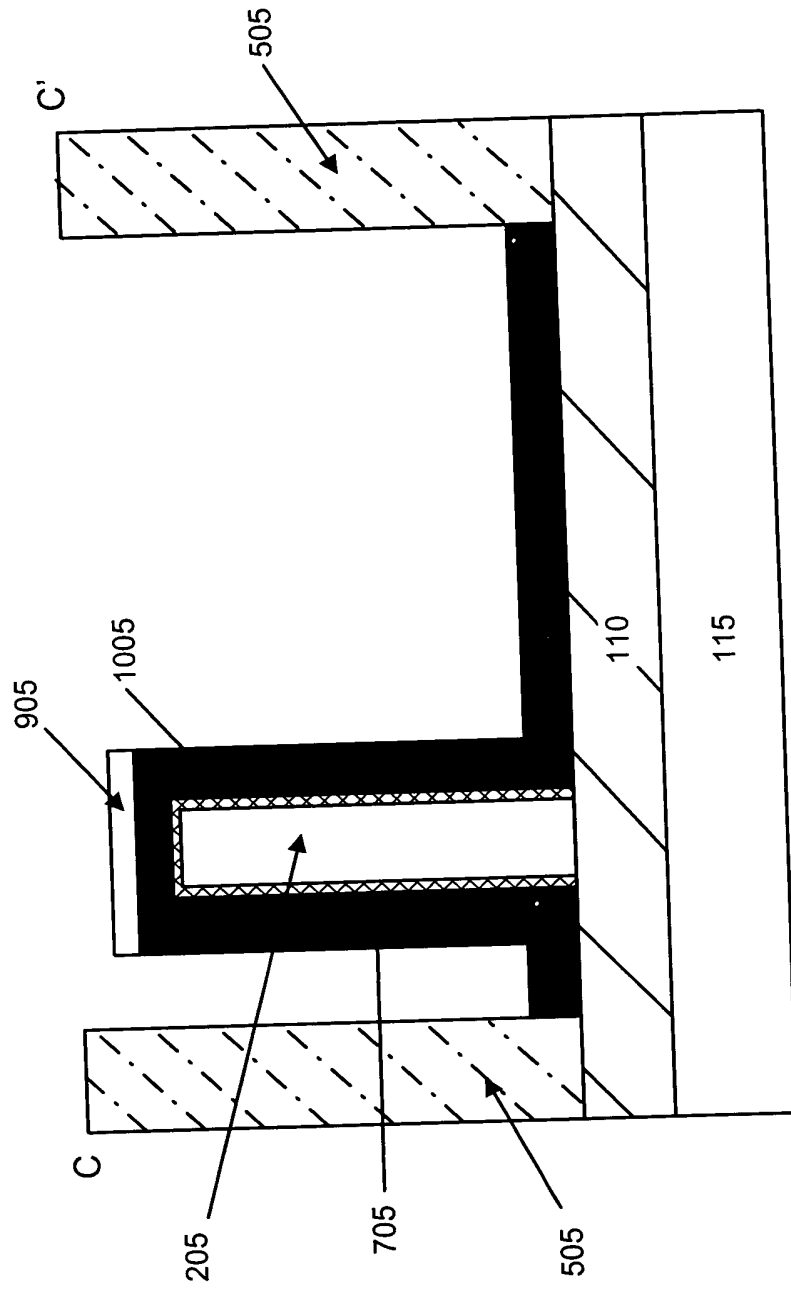


FIG. 9B

CROSS  
SECTIONAL  
VIEW



**FIG. 10**

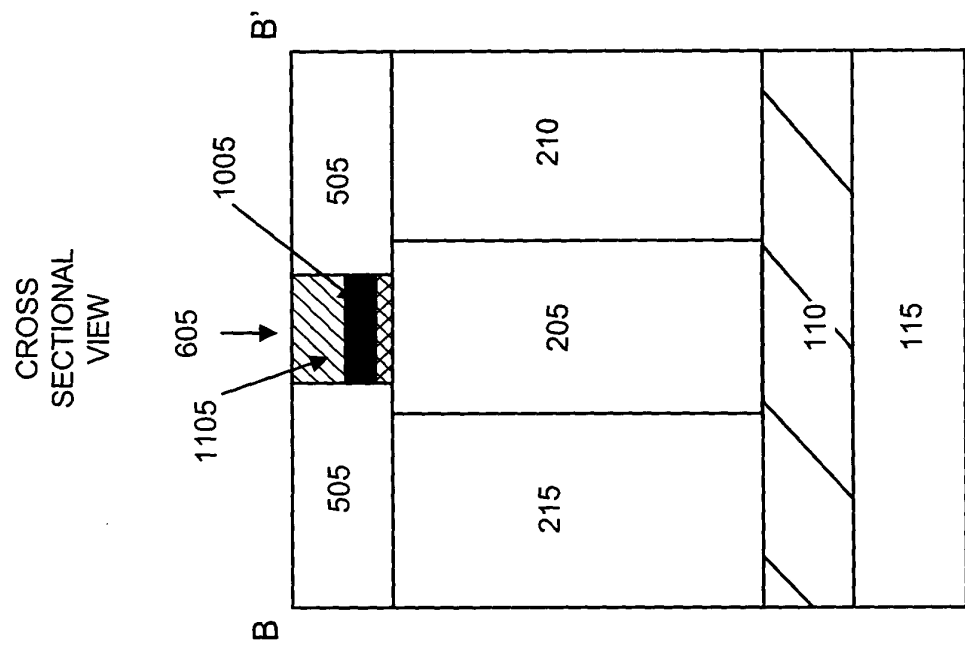


FIG. 11B

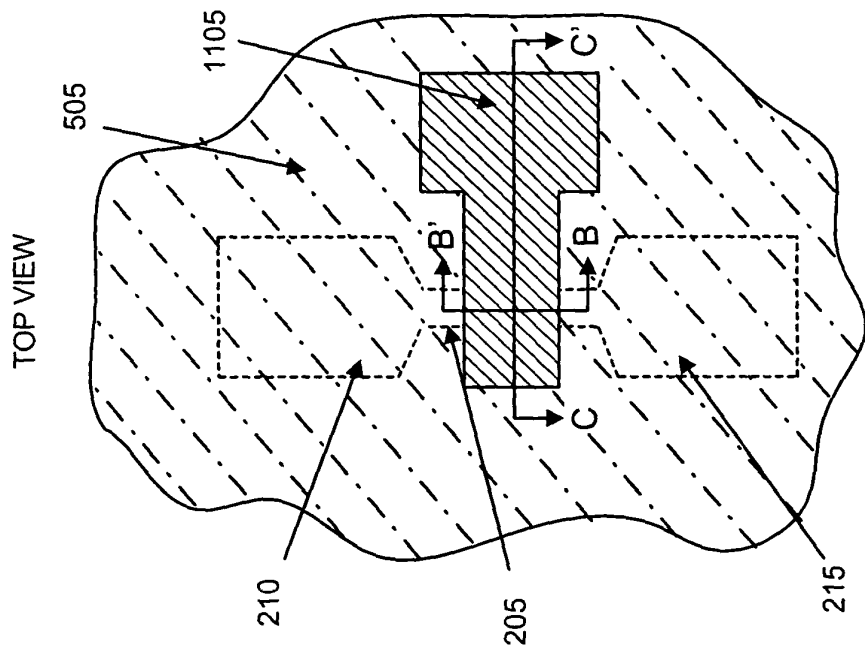


FIG. 11A

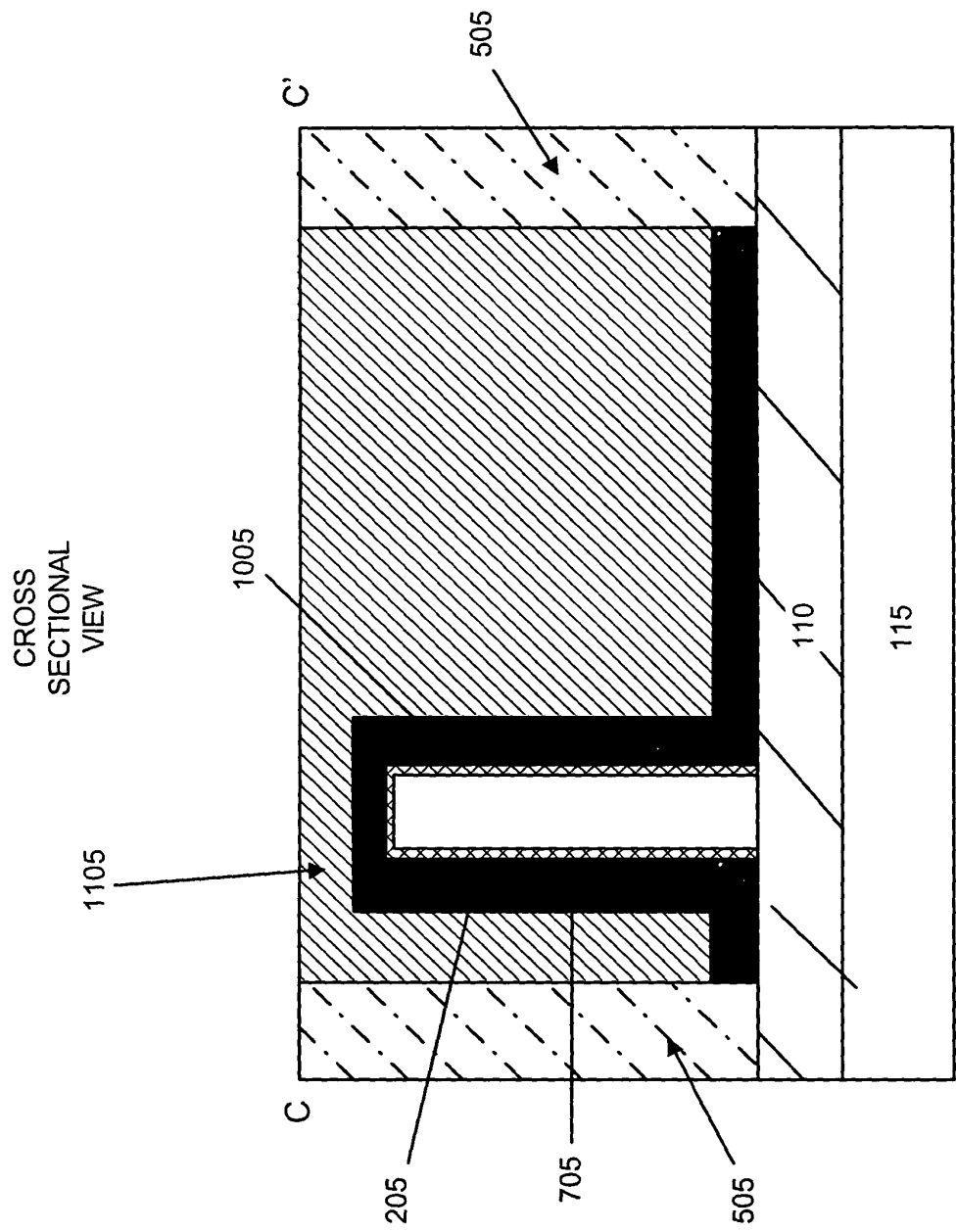
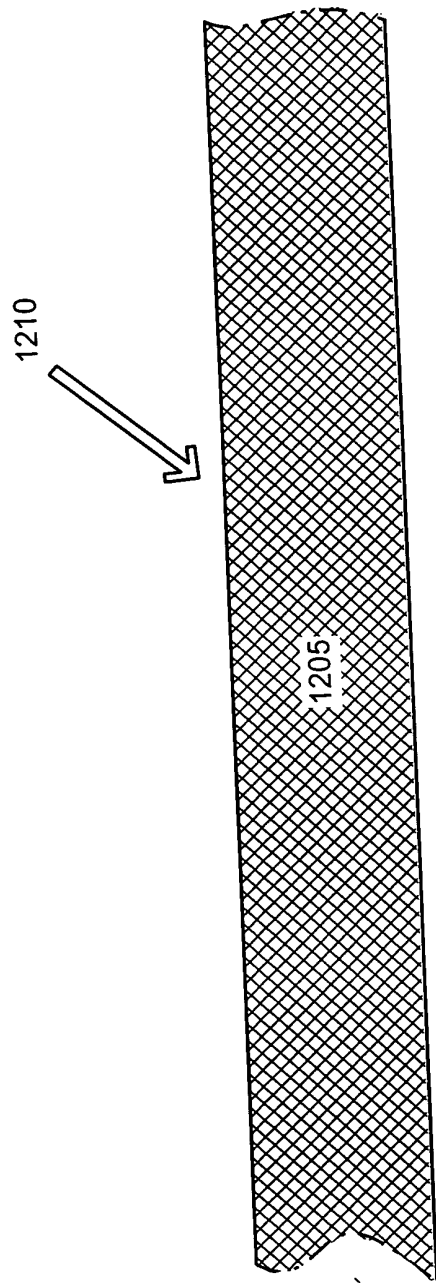
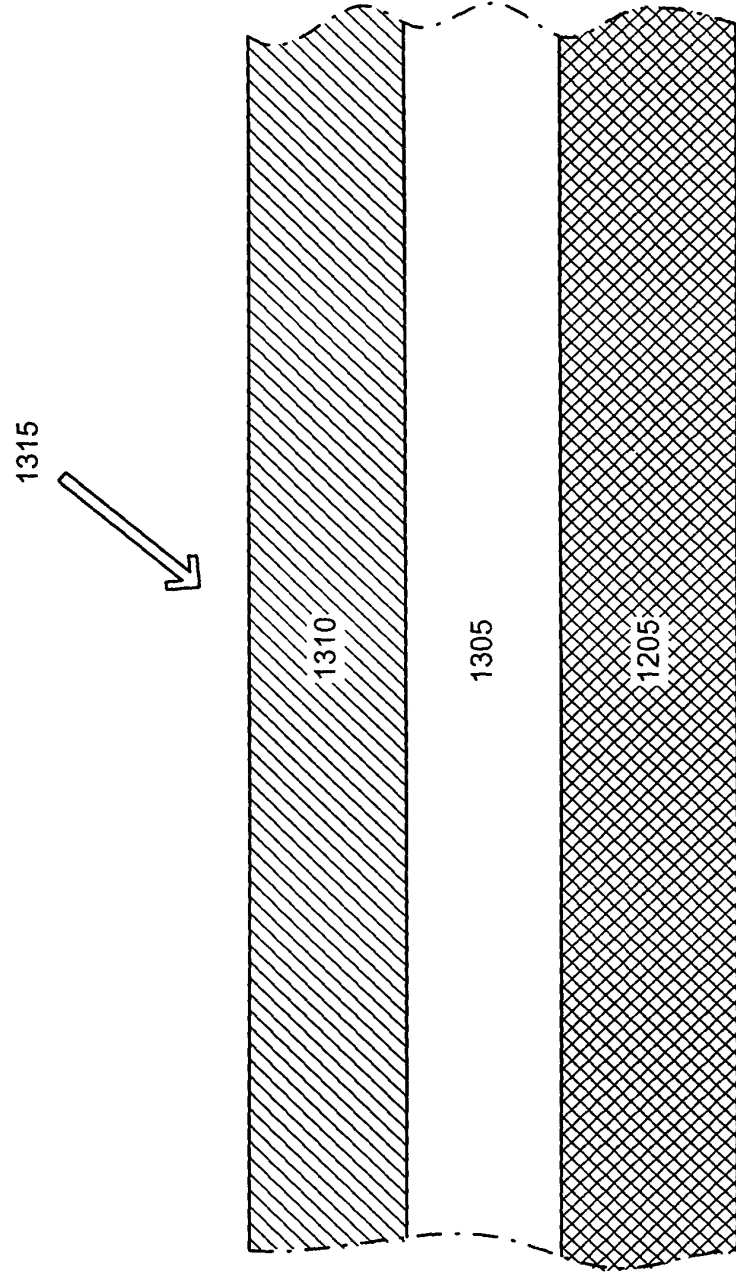


FIG. 11C

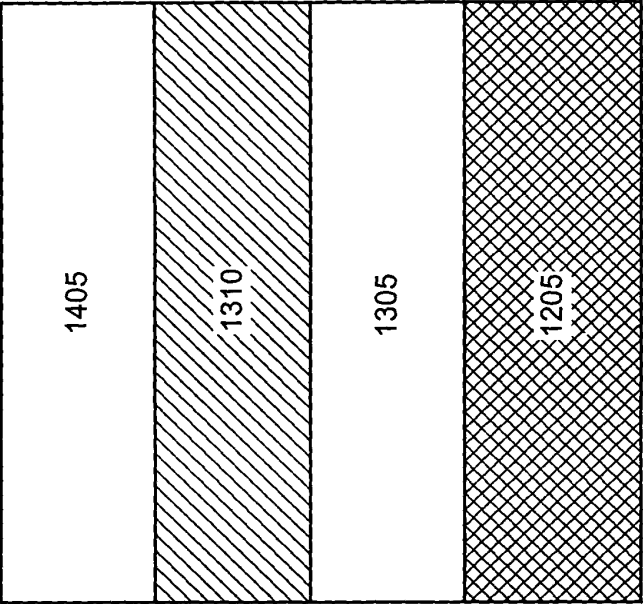


**FIG. 12**

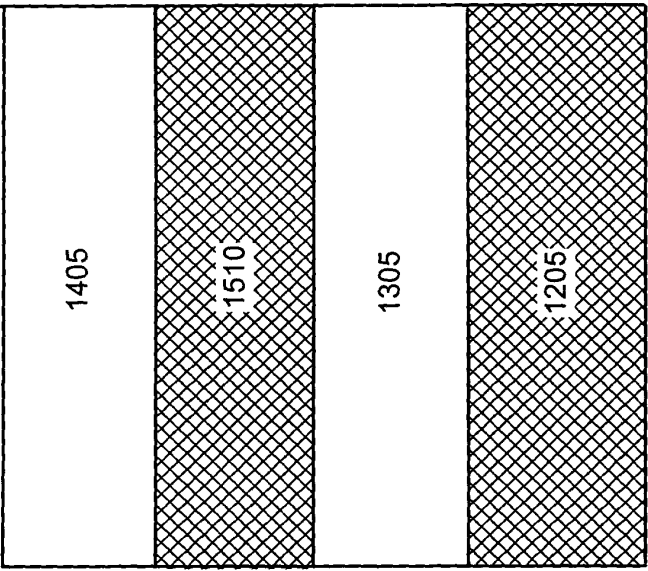




**FIG. 13**



**FIG. 14**



**FIG. 15**